

# ПОСТРОЕНИЕ СХЕМ ДЛЯ МНОГОМЕРНОГО ДИФФЕРЕНЦИАЛЬНОГО УРАВНЕНИЯ ПЕРЕНОСА

А. В. ПАНИЧКИН

*Омский филиал Института математики им. С. Л. Соболева СО РАН  
Россия*

e-mail: panich@iitam.omsk.net.ru

One of the possible methods for constructing a finite-difference scheme for N-dimensional convective-diffusion equation of transfer resulting in the improved accuracy is considered.

Первоначально строится схема с первым порядком аппроксимации интегральным методом для многомерного случая на расчетной ячейке с трехточечным шаблоном в каждом пространственном направлении (схема подобна известной схеме [1], разработанной для одномерного уравнения). При этом схема обладает равномерной сходимостью относительно малого параметра при старшей производной с первым порядком по  $h$  (шаг по сетке). Далее на основе схемы первого порядка точности проводится построение схемы более высокого порядка точности с применением разложения по пространственным координатам (в пределах шагов сетки) для многомерного случая и с частичным устранением возникающей дополнительной аппроксимационной вязкости [2].

Проведенные численные расчеты по переносу вещества (концентрации) в двумерной прямоугольной области на основе разработанной схемы показали существенное повышение точности решений по сравнению с применением схем [1, 3] обычным методом пространственного расщепления. Проведено сравнение результатов с другим методом (см. [4]). Алгоритм для разработанной схемы является более удобным в применении, требует на порядок меньше вычислительной памяти и меньше затрачиваемого времени на проведение расчетов и позволяет использовать средней измельченности сетки для достижения удовлетворительной точности.

1. Воспользуемся попеременным интегрированием при построении конечно-разностных схем для дифференциального уравнения переноса в частных производных.

Рассмотрим уравнение переноса в виде

$$p \frac{\delta U}{\delta x} + r \frac{\delta U}{\delta y} + e \left( \frac{\delta^2 U}{\delta x^2} + \frac{\delta^2 U}{\delta y^2} \right) = g(x, y), \quad (1)$$

где  $e > 0$ ,  $p$ ,  $r$  — кусочно-постоянные (или далее будут кусочно-линейные) функции,  $g(x, y)$  — кусочно-линейная функция ( $g(x, y) = g_0 + g_1(x - x_0) + g_2(y - y_0)$ ).

С целью построения конечно-разностной схемы интегральным методом на ячейке размером  $2h_x \times 2h_y$  ( $x_3 < x < x_2, y_3 < y < y_2$ ) с центром в узле  $(x_1, y_1)$  будем рассматривать задачу Дирихле:

$$\begin{aligned} U(x_3, y) &= A_3(y), & U(x_2, y) &= A_2(y), & y_3 < y < y_2, \\ U(x, y_3) &= B_3(x), & U(x, y_2) &= B_2(x), & x_3 < x < x_2. \end{aligned} \quad (2)$$

Область  $w = [x_3, x_2] \times [y_3, y_2]$  будет рассматриваться как расчетный элемент для более общей области определения  $W$  (области расчета). Для упорядоченных элементов области в случае регулярной сетки будем применять следующую индексацию:  $w_{ij} = [x_{i-1}, x_{i+1}] \times [y_{j-1}, y_{j+1}]$ ,  $h_x = (x_{i+1} - x_{i-1})/2$ ,  $h_y = (y_{j+1} - y_{j-1})/2$ . При фиксированном  $y$  рассмотрим уравнение (1) в виде

$$eU_{xx} + pU_x = [g - eU_{yy} - rU_y]$$

или

$$\begin{aligned} U_{xx} + p/eU_x &= [g/e - U_{yy} - r/eU_y] = [g/e - f_2] = \\ &= [\hat{g}/e + \hat{g}_x/e(x - x_1) - \hat{f}_2 - \hat{f}_{2x}(x - x_1)] + o(h_x^2/e) \end{aligned} \quad (3)$$

на интервале  $[x_3, x_2]$ , где функции осреднены и заменены кусочно-линейными функциями с приближением  $o(h_x^2/e)$  при постоянных коэффициентах  $\hat{g}, \hat{g}_x, \hat{f}_2, \hat{f}_{2x}$ .

Аналогично рассмотрим уравнение (1) при фиксированном  $x$ :

$$eU_{yy} + rU_y = [g - eU_{xx} - pU_x]$$

или

$$\begin{aligned} U_{yy} + r/eU_y &= [g/e - U_{xx} - p/eU_x] = [g/e - f_1] = \\ &= [\hat{g}/e + \hat{g}_y/e(y - y_1) - \hat{f}_1 - \hat{f}_{1y}(y - y_1)] + o(h_y^2/e) \end{aligned} \quad (4)$$

на интервале  $[y_3, y_2]$ , где функции осреднены и заменены кусочно-линейными функциями с приближением  $o(h_y^2/e)$  при постоянных коэффициентах  $\hat{g}, \hat{g}_x, \hat{f}_1, \hat{f}_{1y}$ .

При интегрировании уравнения (3) на интервалах  $[x_3, x]$ ,  $[x, x_2]$  в точке  $x$  введем для  $U$  дополнительное граничное условие  $U_{0x}(x)$  для производной по  $x$ , которое потом исключим с нахождением решения  $U$  на интервале  $[x_3, x_2]$  при фиксированном  $y$ . Аналогично найдем решение  $U$  на интервале  $[y_3, y_2]$  при фиксированном  $x$ . Далее воспользуемся тем, что справедливо уравнение в осредненных величинах на элементе расчетной области  $w$ :

$$\hat{f}_1 + \hat{f}_2 = \hat{g}/e + o(h_x) + o(h_y), \quad (5)$$

$$\begin{aligned} \hat{f}_1 + \hat{f}_{1x}(x - x_1) + \hat{f}_{1y}(y - y_1) + \hat{f}_2 + \hat{f}_{2x}(x - x_1) + \hat{f}_{2y}(y - y_1) = \\ = \hat{g}/e + \hat{g}_x/e(x - x_1) + \hat{g}_y/e(y - y_1) + o(h_x^2 + h_y^2 + h_x h_y). \end{aligned} \quad (6)$$

Нетрудно убедиться, что уравнение (6) аппроксимирует уравнение

$$f_1 + f_2 = g/e \quad (7)$$

(эквивалентное уравнению (1)) со вторым порядком точности по  $h_x$  и  $h_y$ , если для величин  $\hat{f}_1, \hat{f}_{1x}, \hat{f}_{1y}, \hat{f}_2, \hat{f}_{2x}, \hat{f}_{2y}, \hat{g}, \hat{g}_x, \hat{g}_y$  взять значения соответствующих функций в точке

$(x_1, y_1)$ . После совмещения решений для уравнений (3) и (4) путем исключения  $\hat{f}_1$  и  $\hat{f}_2$  по (6) получится уравнение для  $U(x, y)$ , которое при  $x = x_1$  и  $y = y_1$  будет представлять двумерную конечно-разностную схему, содержащую неизвестные коэффициенты  $\hat{f}_{1x}$ ,  $\hat{f}_{1y}$ ,  $\hat{f}_{2x}$ ,  $\hat{f}_{2y}$ . Если при этом указанные коэффициенты найти с точностью  $o(h_x) + o(h_y)$  и подставить в решение  $U_2(x, y)$  как решение приближенной задачи, то, поскольку они имеют множители порядка  $h_x$  или  $h_y$ , это решение сохранит второй порядок точности по  $h_x$  и  $h_y$ . Но в данном случае в знаменателе есть параметр  $e$ , который может быть малой величиной и от которого необходимо избавиться, если возможно, для равномерности оценок решения относительно этого параметра. Чтобы неизвестные коэффициенты имели точность  $o(h_x) + o(h_y)$ , достаточно их получить из решения  $U_1(x, y)$ , имеющего первый порядок точности по  $h_x, h_y$  (без зависимости от малого параметра  $e$ ).

Построим такое решение  $U_1(x, y)$  на основе усеченных уравнений (3), (4) и приближенного уравнения (5). Вместо (3) и (4) рассмотрим уравнения с приближением  $o(h_x/e) + o(h_y/e)$ :

$$U_{xx} + p/eU_x = [g/e - f_2] + o(h_x/e), \quad (8)$$

$$U_{yy} + r/eU_y = [g/e - f_1] + o(h_y/e). \quad (9)$$

Проинтегрируем уравнение (8) на интервале  $[x_3, x_0]$ . После замены  $U_x = V$  с граничным условием  $V(x_0, y_0) = U_{0x}(x_0, y_0)$  (8) имеет вид (при этом  $y$  зафиксируем в точке  $y_0$  из интервала  $[y_3, y_2]$ ):

$$V_x + p/eV = [g/e - f_2], \quad (10)$$

$$V(x, y_0) = \exp\left(-\int_{x_0}^x \left(\frac{p}{e}\right) dx\right) \left[ U_{0x}(x_0) + \int_{x_0}^x \left(\frac{\bar{g}}{e} - \bar{f}_2\right) \exp\left(\int_{x_0}^t \left(\frac{p}{e}\right) dt\right) dx \right]. \quad (11)$$

Далее интегрируем (10) от граничного условия  $U_0(x_0)$  на интервале  $[x_0, x]$ . Изменим порядок интегрирования в (11) (от  $x$  до  $x_0$ ):

$$V(x, y_0) = \exp\left(\int_x^{x_0} \left(\frac{p}{e}\right) dx\right) \left[ U_{0x}(x_0) - \int_x^{x_0} \left(\frac{\bar{g}}{e} - \bar{f}_2\right) \exp\left(-\int_x^{x_0} \left(\frac{p}{e}\right) dt\right) dx \right]. \quad (12)$$

Интегрируя, получаем:

$$\begin{aligned} V(x, y_0) &= \exp\left(\frac{p}{e}(x_0 - x)\right) \left[ U_{0x}(x_0) - \int_x^{x_0} (\hat{g}/e - \hat{f}_2) \exp\left(\frac{p}{e}(x_0 - x)\right) \right] = \\ &= \exp\left(\frac{p}{e}(x_0 - x)\right) \left[ U_{0x}(x_0) - \frac{e}{p}(\hat{g}/e - \hat{f}_2) \left(1 - \exp\left(-\frac{p}{e}(x_0 - x)\right)\right) \right]. \end{aligned} \quad (13)$$

Проинтегрируем теперь уравнение  $U_x = V$  на интервале  $[x_3, x]$  от граничного условия  $U(x_3, y_0) = A_3(y_0)$  ( $U(x_3) = A_3$ ):

$$\begin{aligned} U(x, y_0) &= A_3 + \int_{x_3}^x V dx = A_3 + \left(-\frac{e}{p}\right) U_{0x}(x_0) \left[ \exp\left(\frac{p}{e}(x_0 - x)\right) - \exp\left(\frac{p}{e}(x_0 - x_3)\right) \right] + \\ &+ \frac{e^2}{p^2} \left[ \exp\left(\frac{p}{e}(x_0 - x)\right) - \exp\left(\frac{p}{e}(x_0 - x_3)\right) + (x - x_3)p/e \right] \left[ \frac{\bar{g}}{e} - \bar{f}_2 \right]. \end{aligned} \quad (14)$$

Аналогично после интегрирования на интервале  $[x_0, x_2]$  с граничными условиями  $U_0(x_0)$  и  $U(x_2, y_0) = A_2(y_0)$  ( $U(x_2) = A_2$ ) получаем:

$$\begin{aligned} U(x, y_0) &= A_2 - \int_x^{x_2} V dx = A_2 - \left(-\frac{e}{p}\right) U_{0x}(x_0) \left[ \exp\left(-\frac{p}{e}(x_2 - x_0)\right) - \exp\left(-\frac{p}{e}(x - x_0)\right) \right] - \\ &- \frac{e^2}{p^2} \left[ \exp\left(-\frac{p}{e}(x_2 - x_0)\right) - \exp\left(-\frac{p}{e}(x - x_0)\right) + (x_2 - x)p/e \right] \left[ \frac{\bar{g}}{e} - \bar{f}_2 \right]. \end{aligned} \quad (15)$$

Вследствие того, что  $x_0$  — произвольная точка на интервале  $[x_3, x_2]$ , совместим точку  $o$  с точкой  $x_0$ , которая тоже произвольна и пробегает значения интервала  $[x_3, x_2]$ . После этого решения (14), (15) примут вид:

$$U(x, y_0) = A_3 - \frac{e}{p} U_{0x}(x) \left[ 1 - \exp\left(\frac{p}{e}(x - x_3)\right) \right] + \frac{e^2}{p^2} \left[ 1 - \exp\left(\frac{p}{e}(x - x_3)\right) + (x - x_3)p/e \right] \left[ \frac{\bar{g}}{e} - \bar{f}_2 \right], \quad (16)$$

$$U(x, y_0) = A_2 + \frac{e}{p} U_{0x}(x) \left[ \exp\left(-\frac{p}{e}(x_2 - x)\right) - 1 \right] - \frac{e^2}{p^2} \left[ \exp\left(-\frac{p}{e}(x_2 - x)\right) - 1 + (x_2 - x)p/e \right] \left[ \frac{\bar{g}}{e} - \bar{f}_2 \right]. \quad (17)$$

Исключая  $U_0(x, y_0)$  из (16) и (17), приходим к соотношению

$$\begin{aligned} & \frac{U(x, y_0) - A_2 + \frac{p^2}{e^2} \left[ (x_2 - x)p/e + \exp\left(-\frac{p}{e}(x_2 - x)\right) - 1 \right] \left[ \frac{\bar{g}}{e} - \bar{f}_2 \right]}{\frac{e}{p} \left[ \exp\left(-\frac{p}{e}(x_2 - x)\right) - 1 \right]} = \\ & = \frac{U(x, y_0) - A_3 - \frac{p^2}{e^2} \left[ (x - x_3)p/e - \exp\left(\frac{p}{e}(x - x_3)\right) + 1 \right] \left[ \frac{\bar{g}}{e} - \bar{f}_2 \right]}{\frac{e}{p} \left[ \exp\left(\frac{p}{e}(x - x_3)\right) - 1 \right]}, \end{aligned} \quad (18)$$

из которого выделяем решение:

$$\begin{aligned} U(x, y_0) = & \left[ A_2 \left[ \exp\left(\frac{p}{e}(x - x_3)\right) - 1 \right] - A_3 \left[ \exp\left(-\frac{p}{e}(x_2 - x)\right) - 1 \right] - \right. \\ & - \frac{p^2}{e^2} \left\{ \left[ \exp\left(\frac{p}{e}(x - x_3)\right) - 1 \right] \times \left[ (x_2 - x)p/e + \exp\left(-\frac{p}{e}(x_2 - x)\right) - 1 \right] + \right. \\ & \left. \left. + \left[ \exp\left(-\frac{p}{e}(x_2 - x)\right) - 1 \right] \times \left[ (x - x_3)p/e - \exp\left(\frac{p}{e}(x - x_3)\right) + 1 \right] \right\} \left[ \frac{\bar{g}}{e} - \bar{f}_2 \right] \right] / \\ & / \left( \exp\left(\frac{p}{e}(x - x_3)\right) - \exp\left(-\frac{p}{e}(x_2 - x)\right) \right). \end{aligned} \quad (19)$$

Если ввести обозначения  $P_2(x) = 1 - \exp(-p/e(x_2 - x))$  и  $P_3(x) = \exp(-p/e(x - x_3)) - 1$ , то выражение (19) примет вид:

$$\begin{aligned} U(x, y_0) = & \left[ A_2(y_0)P_3(x) + A_3P_2(x) + \frac{e^2}{p^2} \{ P_3(x)[P_2(x) - (x_2 - x)p/e] + \right. \\ & \left. + P_2(x)[(x - x_3)p/e - P_3(x)] \} \times \left[ \frac{\bar{g}}{e} - \bar{f}_2 + o(h/e) \right] \right] / [P_2(x) + P_3(x)]. \end{aligned} \quad (20)$$

Аналогично после интегрирования (9) на интервале  $[y_3, y_2]$  при фиксированном  $x = x_0$  получаем решение в виде:

$$\begin{aligned} U(x_0, y) = & \left[ B_2R_3(y) + B_3R_2(y) + \frac{e^2}{r^2} \{ R_3(y)[R_2(y) - (y_2 - y)r/e] + \right. \\ & \left. + R_2(y)[(y - y_3)r/e - R_3(y)] \} \times \left[ \frac{\bar{g}}{e} - \bar{f}_1 + o(h/e) \right] \right] / [R_2(x) + R_3(x)], \end{aligned} \quad (21)$$

где  $R_2(y) = 1 - \exp(-r/e(y_2 - y))$  и  $R_3(y) = \exp(-r/e(y - y_3)) - 1$ .

Рассматривая решения (20), (21) в произвольной точке  $(x, y)$  ячейки  $w$  и используя приближенное уравнение (5) для исключения  $\hat{f}_1, \hat{f}_2$  из (20) и (21), получим следующее приближенное решение  $U(x, y)$  на элементе области решения  $w$ :

$$U(x, y) = [(A_2P_3 + A_3P_2)p/Q_1 + (B_2R_3 + B_3R_2)r/Q_2 + \bar{g} + o(h)]Q_1Q_2 / [Q_1(R_2 + R_3)r + Q_2(P_2 + P_3)p], \quad (22)$$

где  $Q_1(x) = P_2(x - x_3) - P_3(x_2 - x)$ ,  $Q_2(y) = R_2(y - y_3) - R_3(y_2 - y)$ ,  $(x, y) \in [x_3, x_2] \times [y_3, y_2]$ . Из (22) можно получить конечно-разностную схему порядка  $(h)$  без зависимости от малого параметра  $e$ . Для этого точку решения  $(x, y)$  достаточно рассмотреть в узле  $(x_1, y_1)$ .

На основе приближенного уравнения (6), используя, например, (22) для определения неизвестных первых производных, можно получить аналогичное решение с повышенным порядком точности:

$$U(x, y) = \{[(A_2P_3 + A_3P_2)p + g_1/2(P_2((x - x_1)^2 - (x_3 - x_1)^2) + P_3((x - x_1)^2 - (x_2 - x_1)^2))]/Q_1 + [(B_2R_3 + B_3R_2)r + g_2/2(R_2((y - y_1)^2 - (y_3 - y_1)^2) + R_3((y - y_1)^2 - (y_2 - y_1)^2))]/Q_2 + \bar{g} + ef_{2x}(x - x_1) + ef_{1y}(y - y_1) - eg_1/p - eg_2/r + o(h^2)\}, \quad (23)$$

где  $g_1 = g_x - ef_{2x}$ ,  $g_2 = g_y - ef_{1y}$ . Чтобы применить полученное выражение (23) на расчетных ячейках с равномерным шагом в качестве конечно-разностной схемы, достаточно заменить  $(x, y)$  на  $(x_1, y_1)$  и применить аппроксимацию для неизвестных величин  $f_{1y}, f_{2x}$ , влияние которых пропорционально коэффициенту диффузии  $e$ , который рассматривается достаточно малой величиной. Поэтому данное влияние на решение в целом будет в какой-то мере асимптотическим по  $e$ .

2. Рассмотрим задачу переноса вещества с разной концентрацией на границах и произведем расчеты по различным схемам. Исходным уравнением будет уравнение (1) с искомой функцией  $(x, y)$  вместо  $U(x, y)$  и компонентами скорости  $(u, v)$  вместо  $(p, r)$ . Область расчета показана на рис. 1 с примером расчетной ячейки. Развернутые узлы соответствуют расчетам по работе [5]. Расчеты проводились при коэффициенте диффузии от  $0.1$  до  $10^{-7}$ , компонентах скорости  $(u, v) = 1, 0.66$ , на сетках  $(10 \times 10)$  (сетка 1),  $(20 \times 20)$  (сетка 2),

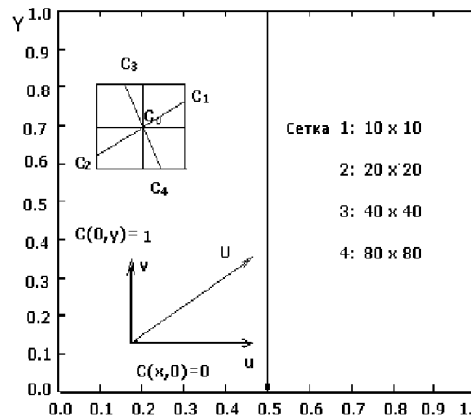
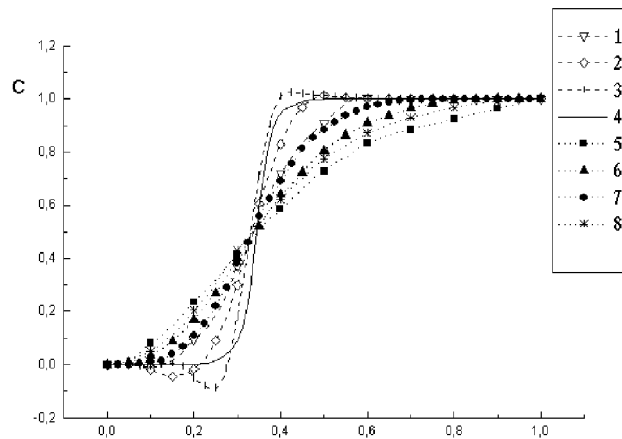
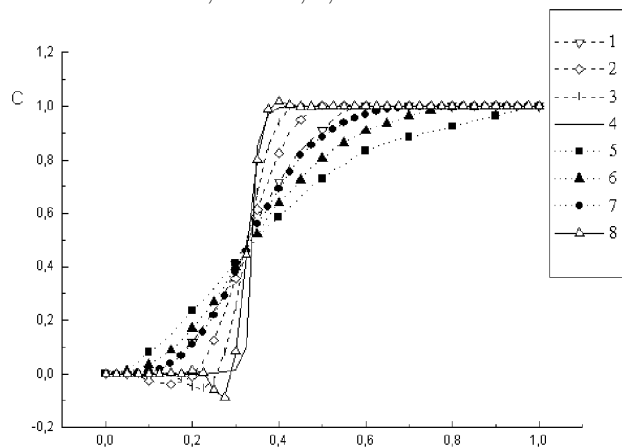
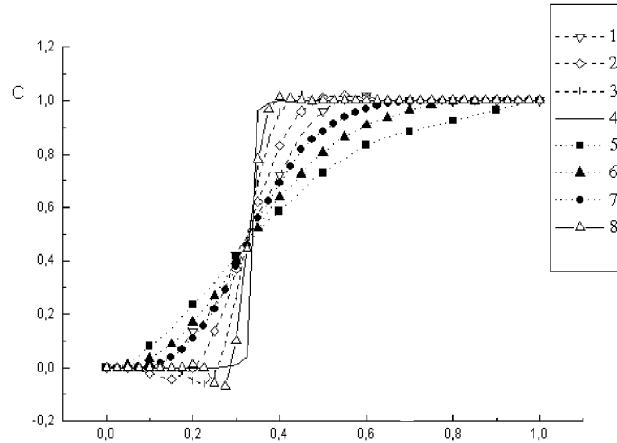


Рис. 1. Расчетная область с образцом ячейки (1, 2, 3, 4 — значения в дополнительных узлах) и направлением переноса  $U$ .

$(40 \times 40)$  (сетка 3),  $(80 \times 80)$  (сетка 4) в области  $1.0 \times 1.0$  с граничными условиями  $(0, y) = 1$ ,  $C(x, 0) = C(1, y) = C(x, 1) = 0$  (см. рис. 1). При других направлениях скорости, не совпадающих с узловыми направлениями, сравнения результатов, полученных по схеме (23), с другими данными подобны. Расчеты при коэффициенте диффузии  $10^{-1}$ ,  $10^{-2}$  и направлениях скорости, близких к узловым линиям, показали нецелесообразность применения схемы (23) из-за сильного искажения решения, вносимого определением в схеме элементов  $f_{1y}$ ,  $f_{2x}$  с множителем  $e$  и делителями  $p$  и  $r$ . В таких случаях достаточно применить обычную схему без дополнительных построений.

На рис. 2–4 показаны расчеты в разрезе области при  $x = 0.5$  при коэффициенте диффузии  $10^{-3}$ ,  $10^{-4}$ ,  $10^{-5}$  соответственно для схемы (23) (линии 1, 2, 3 на трех сетках 1, 2, 3), для экспоненциальной схемы второго порядка точности с использованием алгоритма [4] (линия 4 на сетке 3, с которой расчеты на сетках 1 и 2 практически совпадают), для схемы направленных разностей (линии 5, 6, 7 на соответствующих сетках), а также для схемы А. А. Самарского (линия 8 для расчета на сетке 3). На рис. 3 и 4 линия 8 соответствует расчетам по (23) на сетке 4. При данных коэффициентах диффузии расчеты по экспоненциальной схеме первого порядка совпадают с расчетами по схеме направленных разностей (см. [5]).

Рис. 2.  $Y, X = 0, 5$ ,  $e = 1.0E - 3$ .Рис. 3.  $Y, X = 0, 5$ ,  $e = 1.0E - 4$ .

Рис. 4.  $Y, X = 0.5, e = 1.0E - 5$ .

Из результатов видно, что расчеты по обычным схемам дают аппроксимационную диффузию порядка 0.01 и нет большого отличия кривых с рис. 3, 4 от решения на рис. 2, в то время как кривые с применением алгоритма [4] соответствуют решению с заданными коэффициентами диффузии ( $10^{-3}$ ,  $10^{-4}$ ,  $10^{-5}$ ). Разработанная схема (23) с аппроксимацией членов  $f_{1y}$ ,  $f_{2x}$  обычными центральными разностями имеет более близкое решение к “эталонному” решению с линиями 4. Небольшое осциллирование решения имеет место из-за применения немонокотонных конечно-разностных операторов для  $f_{1y}$ ,  $f_{2x}$ . С уменьшением коэффициента диффузии осцилляции уменьшаются и интегральная норма отклонения от наиболее точного решения (линии 4) стабилизируется, в то же время для других схем такая норма при расчетах на рассматриваемых сетках значительно больше (табл. 1–3). В таблицах под номером 1 рассмотрена схема (23), 2 — схема направленных разностей (и схема [1] при  $e > 10^{-2}$ ), 3 — схема А. А. Самарского.

Из проведенного анализа следует, что применение схем на основе (23) целесообразно при достаточно малых коэффициентах диффузии с исходными дифференциальными уравнениями типа (1) для многомерных областей определения решения. При использовании

Т а б л и ц а 1

$h$	Расчет при $e = 1.0E - 2$		
	1	2	3
0.1	0.1093	0.1050	0.0997
0.50E-1	0.2074	0.0704	0.0427
0.25E-2	—	0.0448	0.0109

Т а б л и ц а 2

$h$	Расчет при $e = 1.0E - 3$		
	1	2	3
0.1	0.0754	0.1629	—
0.50E-1	0.0344	0.10775	—
0.25E-2	0.0307	0.0690	0.1525
0.12E-2	0.0507	0.0472	0.0973

Т а б л и ц а 3

$h$	Расчет при $e = 1.0 - 4$ и $e = 1.0 - 5$			
	1	2	1	2
0.1	0.0886	0.1755	0.0938	0.1764
0.50E-1	0.0501	0.1226	0.0701	0.1326
0.25E-2	0.0306	0.0871	0.0362	0.0898
0.12E-2	0.0171	0.0613	0.0211	0.0641

обычной аппроксимации с центральными разностями для элементов  $f_{1y}$ ,  $f_{2x}$  следует асимптотическая погрешность решения порядка  $(h + eh)$ , хотя из вывода соотношения (23) погрешность может иметь вид  $(h^2)$ , если решить проблему с более точным определением  $f_{1y}$ ,  $f_{2x}$ .

## Список литературы

- [1] ИЛЬИН А. М. Разностная схема для дифференциального уравнения с малым параметром при старшей производной. *Математич. заметки*, **6**, №2, 1969, 237–248.
- [2] ПАТАНКАР С. *Численные методы решения задач теплообмена и динамики жидкости*: Пер. с англ. Энергоатомиздат, М., 1984.
- [3] ЕМЕЛЬЯНОВ К. В. Разностная схема для дифференциального уравнения с малым параметром при старшей производной. *Сборник ЧММСС*, **11**, №5, 1980, 54–74.
- [4] ПАНИЧКИН А. В. Алгоритм уменьшения искусственной диффузии в конечно-разностных схемах для многомерных задач. *Тез. междунар. конф. “Математические модели и численные методы МСС”*. Изд-во СО РАН, Новосибирск, 1996, 426–427.
- [5] ПАНИЧКИН А. В. Численный расчет многомерных задач переноса с алгоритмом уменьшения искусственной диффузии. *Докл. междунар. конф. “Модели механики сплошной среды, вычислительные технологии и автоматизированное проектирование в авиации и машиностроении”*. Изд-во Казанского гос. техн. ун-та, 1997, 142–148.

Поступила в редакцию 11 июня 1999 г.